

DCA 0118 – Processamento Digital de Sinais

Tópico 6: Projeto de filtros digitais

Tiago Barros ¹

¹{tbarros@dca.ufrn.br}

Departamento de Engenharia de Computação e Automação (DCA)
Centro de Tecnologia (CT)
Universidade Federal do Rio Grande do Norte (UFRN)

2022.1

Programa

Conteúdo

- 1 Introdução;
- 2 Projeto de filtros digitais FIR;
 - 2.1 Método do janelamento;
- 3 Projeto de filtros digitais IIR;
 - 3.1 Método da invariância da resposta impulsiva;
 - 3.2 Transformação bilinear;

Bibliografia

Livro texto

Oppenheim, A.V. and Schafer, R.W., 2012. Processamento em tempo discreto de sinais. Tradução Daniel Vieira. 3ª ed.-São Paulo: Pearson Education do Brasil.

- Capítulo 7:
 - Seções 7.0, 7.1, 7.2, 7.3, 7.4, 7.5, 7.6.

Técnicas de projeto de filtros de tempo discreto

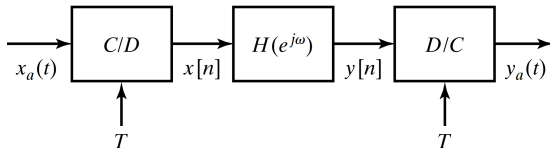
Foco em filtros passa-baixas (FPB), seletivos em frequência, causais.

Estágios de projeto de filtros de tempo discreto

- Especificação das propriedades desejadas do sistema;
 - Resposta em frequência;
 - Estrutura (FIR ou IIR, número de coeficientes);
- Aproximação das especificações usando sistema causal discreto;
 - Determinação dos coeficientes;
 - Precisão finita;
- Realização do sistema;
 - Implementação por meio de diagramas de estruturas discretas;

Técnicas de projeto de filtros de tempo discreto

Sistema discreto para filtragem de sinais contínuos:



Resposta em frequência de um FPB de tempo contínuo

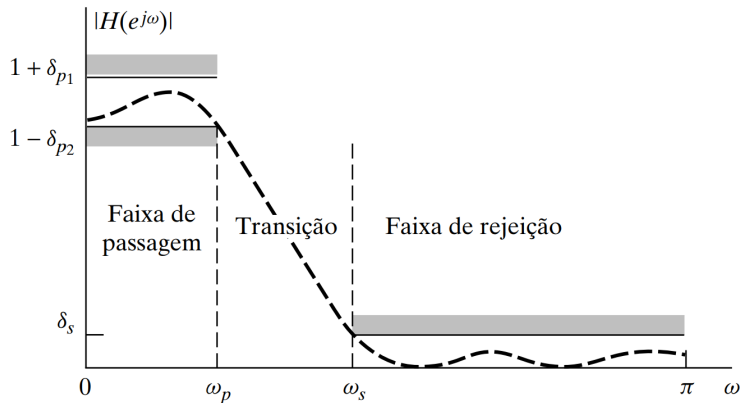
$$H_{\text{eff}}(j\Omega) = \begin{cases} H(e^{j\Omega T}), & |\Omega| < \pi/T \\ 0, & |\Omega| > \pi/T \end{cases}$$

Para o sinal discreto no tempo, $\omega = \Omega T$, logo:

$$H(e^{j\omega}) = H_{\text{eff}}\left(j\frac{\omega}{T}\right), \quad |\omega| < \pi$$

Técnicas de projeto de filtros de tempo discreto

Máscara da resposta em amplitude:



Filtros FIR

Filtros FIR:

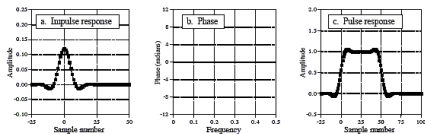
- Fase linear;
- Estáveis;
- Baixa sensibilidade a erros de arredondamento;
- Resposta ao impulso $h[n]$ diretamente ligada aos coeficientes;

Desafio

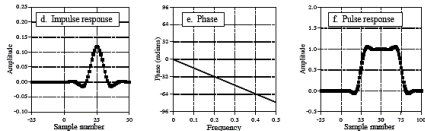
- Resposta em frequência desejada $H_d(e^{j\omega})$ leva a resposta ao impulso $h_d[n]$ de duração infinita.
- Que $h[n]$ **finito** melhor aproxima $h_d[n]$?

Filtros FIR

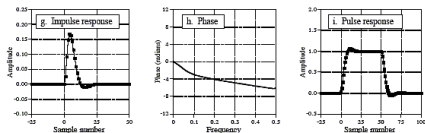
Zero Phase Filter



Linear Phase Filter



Nonlinear Phase Filter

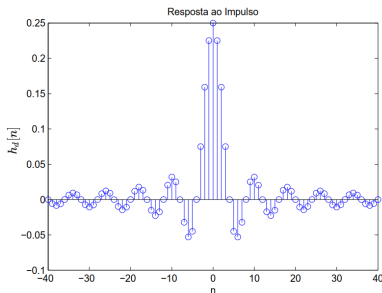
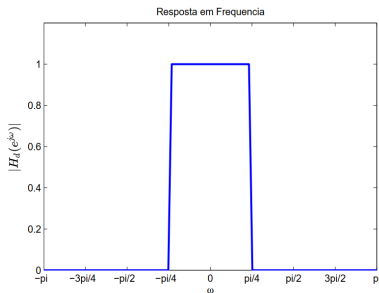


Fonte:

(<http://www.dspguide.com/ch19/4.htm>)

- Não causa distorção de fase, apenas atraso;
- Simetria na resposta:
 - Exigido por comunicações e processamento de imagem;
- Implementado com metade das multiplicações;

Exemplo: Filtro passa-baixas ideal



Problemas

- Resposta de duração infinita;
- Não causal;

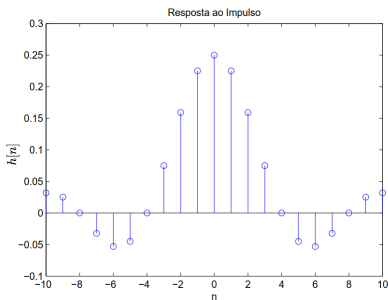
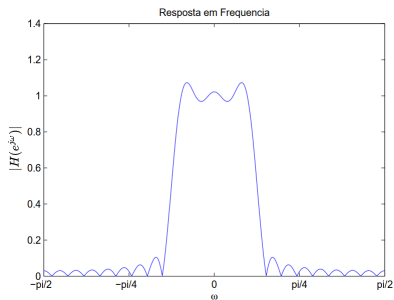
Característica desejável

- Fase zero;

Truncando a resposta

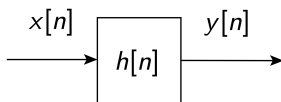
Ideia para resposta ao impulso finita:

$$h[n] = \begin{cases} h_d[n], & |n| < M \\ 0, & \text{caso contrário} \end{cases}$$



Causalidade

Truncamento ainda não é causal:



$$\begin{aligned} y[n] &= \sum_{k=-10}^{10} x[n-k]h[k] \\ &= x[n+10]h[-10] + x[n+9]h[-9] + \dots + x[n-10]h[10] \end{aligned}$$

$\Rightarrow y[n]$ depende de valores futuros de $x[n]$;

\Rightarrow Não pode ser implementado em tempo real;

Atraso e causalidade

Solução causal:

- Desloca $h[n]$ de 10 amostras para a direita:

$$h[n] = \begin{cases} h_d[n-10], & 0 \leq n \leq 20 \\ 0, & \text{caso contrário} \end{cases}$$

$$H(e^{j\omega}) = e^{-j\omega 10} H_{\text{truncado}}(e^{j\omega})$$

⇒ Mesma magnitude;

⇒ Fase linear: -10ω ;

Resposta ao impulso de filtro passa-baixas

Se resposta em frequência de FPB ideal é dada por

$$H_d(e^{j\omega}) = \begin{cases} e^{-j\omega M/2}, & |\omega| < \omega_c \\ 0, & \omega_c < |\omega| \leq \pi \end{cases}$$

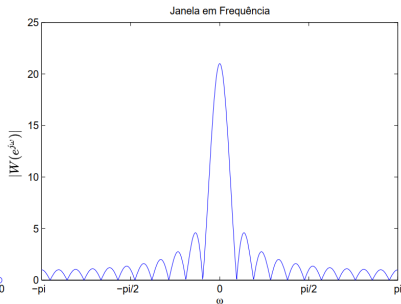
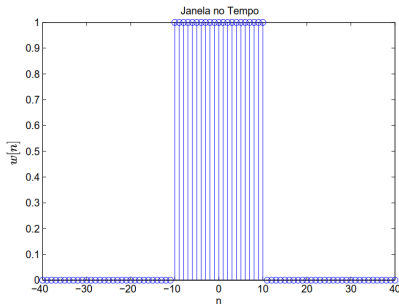
Obtém-se

$$h_d[n] = \frac{\text{sen}[\omega_c(n - M/2)]}{\pi(n - M/2)}.$$

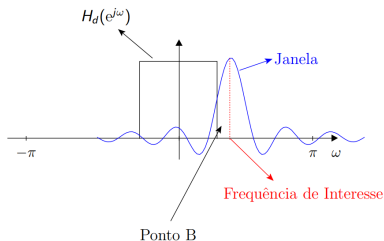
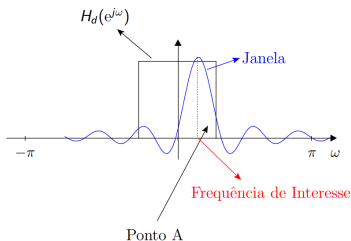
Explicando transição e oscilações

$$h[n] = h_d[n]w[n]$$

$$H(e^{j\omega}) = \frac{1}{2\pi} \int_{-\pi}^{\pi} H_d(e^{j\theta}) W(e^{j(\omega-\theta)}) d\theta$$

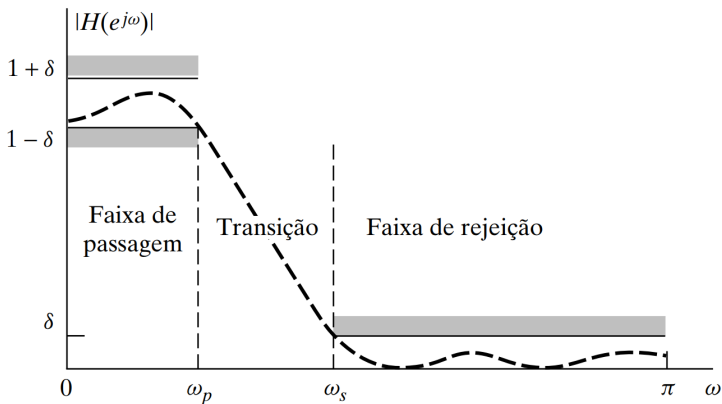


Explicando transição



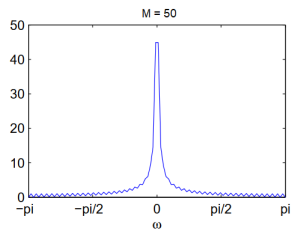
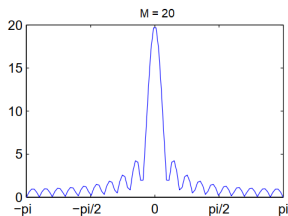
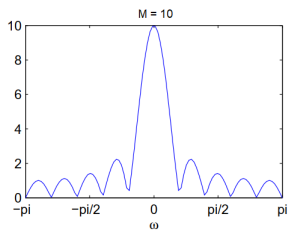
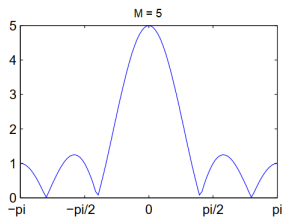
- Ponto A: área começa a diminuir
 - Começo da transição.
- Ponto B: área termina de diminuir
 - Fim da transição.
- Largura da faixa de transição depende da largura do lóbulo central ($\approx 4\pi/M$ para janela retangular);
- $H(e^{j\omega_c}) \approx 1/2$
 - Em geral, usa-se $\omega_c = (\omega_p + \omega_s)/2$.

Técnicas de projeto de filtros de tempo discreto

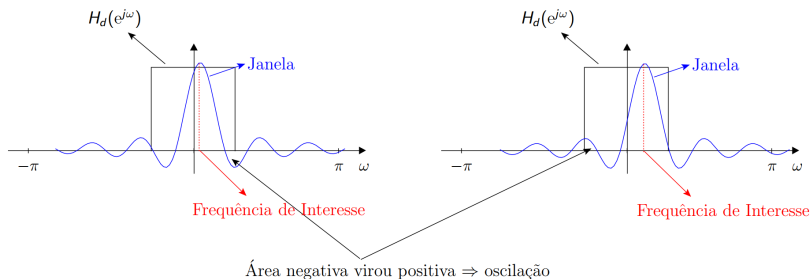


Melhorando transição

Aumenta tamanho da janela, diminui transição



Explicando oscilações



- Amplitude das oscilações depende da área dos lóbulos laterais
 - Igual nas faixas de passagem e rejeição.
- Para janela retangular, não depende de M
- Solução: outras janelas

Outras janelas: definição

$$\text{Barlett (triangular) } w[n] = \begin{cases} 2n/M, & 0 \leq n \leq M/2, M \text{ par} \\ 2 - 2n/M, & M/2 < n \leq M \\ 0, & \text{caso contrário} \end{cases}$$

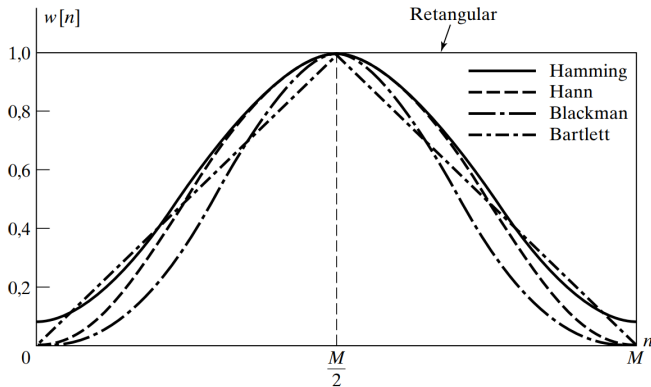
$$\text{Hanning } w[n] = \begin{cases} 0,5 - 0,5 \cos(2\pi n/M), & 0 \leq n \leq M \\ 0, & \text{caso contrário} \end{cases}$$

$$\text{Hamming } w[n] = \begin{cases} 0,54 - 0,46 \cos(2\pi n/M), & 0 \leq n \leq M \\ 0, & \text{caso contrário} \end{cases}$$

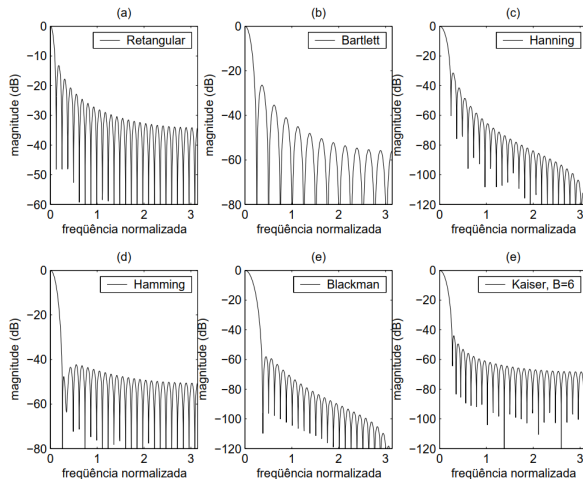
Blackman

$$w[n] = \begin{cases} 0,42 - 0,5 \cos(2\pi n/M) + 0,08 \cos(4\pi n/M), & 0 \leq n \leq M \\ 0, & \text{caso contrário} \end{cases}$$

Outras janelas: tempo



Outras janelas: frequência



Outras janelas: características

Tipo de janela	Amplitude do lóbulo lateral (dB)	Largura aproximada do lóbulo central	Oscilação máxima aprox. (dB)
Retangular	-13	$4\pi/(M+1)$	-21
Bartlett	-25	$8\pi/M$	-25
Hanning	-31	$8\pi/M$	-44
Hamming	-41	$8\pi/M$	-53
Blackman	-57	$12\pi/M$	-74

Exemplo

Projetar um filtro passa-baixas com:

- Frequência de corte $\omega_c = \pi/2$;
- Largura da região de transição $\Delta\omega \leq 0,2\pi$;
- Erro máximo na faixa de passagem de 0,02;
- Erro máximo na faixa de rejeição de 0,01;

Faixa de passagem \implies oscilação $< 20 \log_{10}(0,02) = -34$ dB;

Faixa de rejeição \implies oscilação $< 20 \log_{10}(0,01) = -40$ dB;

Janela com menor transição que melhor satisfaz oscilação: **Hamming**;

$$8\pi/M \leq 0,2\pi \implies M \geq 40$$

Exemplo

Coefficientes do filtro são dados por

$$h[n] = \begin{cases} \frac{\sin[\omega_c(n-\alpha)]}{\pi(n-\alpha)} w[n], & 0 \leq n \leq M \\ 0, & \text{caso contrário} \end{cases}$$

- $w[n]$ são os coeficientes da janela de Hamming;
- $\alpha = M/2 = 20$;

Janela de Kaiser

Projeto com janelas tradicionais envolve tentativa e erro.

Alternativa: Janela de Kaiser:

$$w[n] = \begin{cases} \frac{I_0\left\{\beta\left[1-\left(\frac{n-\alpha}{\alpha}\right)^2\right]^{1/2}\right\}}{I_0(\beta)}, & 0 \leq n \leq M \\ 0, & \text{caso contrário} \end{cases}$$

Parâmetros:

- $\alpha = M/2$;
- $I_0(x)$: função de Bessel modificada de 1ª espécie e ordem zero;
- M : largura do filtro;
- β : altera a forma da janela, podendo até aproximar outras janelas;

Janela de Kaiser: características

β escolhido para a mesma oscilação

Tipo de janela	Amplitude do lóbulo lateral (dB)	Largura aprox. do lóbulo central	Osc. máxima aprox. (dB)	Janela de Kaiser equiv. β	Transição janela Kaiser equiv.
Retangular	-13	$\frac{4\pi}{M+1}$	-21	0	$1,81\pi/M$
Bartlett	-25	$8\pi/M$	-25	1,33	$2,37\pi/M$
Hanning	-31	$8\pi/M$	-44	3,86	$5,01\pi/M$
Hamming	-41	$8\pi/M$	-53	4,86	$6,27\pi/M$
Blackman	-57	$12\pi/M$	-74	7,04	$9,19\pi/M$

Kaiser tem transição menor

Projeto com a janela de Kaiser

Sejam $A = -20 \log_{10} \delta$ e $\Delta\omega = \omega_s - \omega_p$

$$\beta = \begin{cases} 0,1102(A - 8,7), & A > 50 \\ 0,5842(A - 21)^{0,4} + 0,07886(A - 21), & 21 \leq A \leq 50 \\ 0, & A < 21 \end{cases}$$

$$M = \frac{A - 8}{2,285\Delta\omega}$$

Exemplo

Projetar um filtro passa-baixas com:

- Faixa de passagem até $\omega_p = 0,4\pi$;
- Frequência de rejeição $\omega_s = 0,6\pi$;
 - Largura da região de transição $\Delta\omega \leq 0,2\pi$;
- erro máximo na faixa de passagem de 0,01;
- erro máximo na faixa de rejeição de 0,001;

Menor oscilação: $20 \log_{10}(0,001) = -60$ dB.

$$\Delta\omega = \omega_s - \omega_p = 0,2\pi$$

$$\implies \beta = 5,653; M = 37.$$

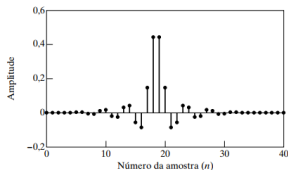
Exemplo

Coefficientes do filtro são dados por

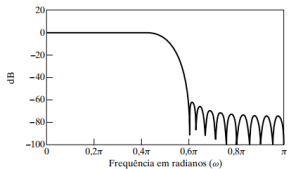
$$h[n] = \begin{cases} \frac{\sin[\omega_c(n-\alpha)]}{\pi(n-\alpha)} w[n], & 0 \leq n \leq M \\ 0, & \text{caso contrário} \end{cases}$$

- $w[n]$ são os coeficientes da janela de Kaiser;
- $\alpha = M/2 = 18,5$;

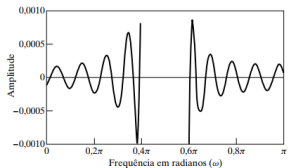
Resultado



(a)



(b)



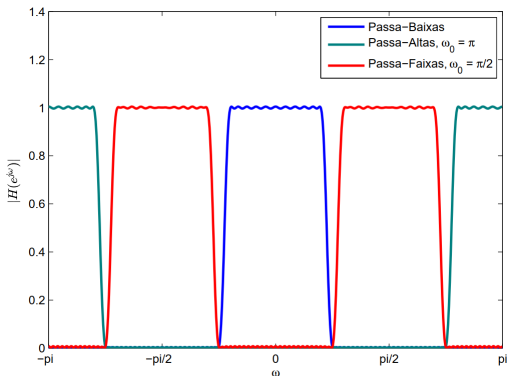
(c)

Outros filtros

Deslocamento em frequência: $h[n]e^{j\omega_0 n} \longleftrightarrow H(e^{j(\omega-\omega_0)})$;

$$\implies 2h[n]\cos(\omega_0 n) \longleftrightarrow H(e^{j(\omega-\omega_0)}) + H(e^{j(\omega+\omega_0)});$$

Para passa-faixas ou passa-altas, escolhe-se ω_0 adequado:



Projeto de filtros IIR de tempo discreto por mapeamento TC-TD

- Baseado no projeto de um filtro de tempo contínuo;
- Especificações de filtro de tempo discreto são obtidas através de especificações de filtro de tempo contínuo por alguma transformação;

$$\begin{aligned} H_c(s) &\longrightarrow H(z) \\ h_c(t) &\longrightarrow h[n] \end{aligned}$$

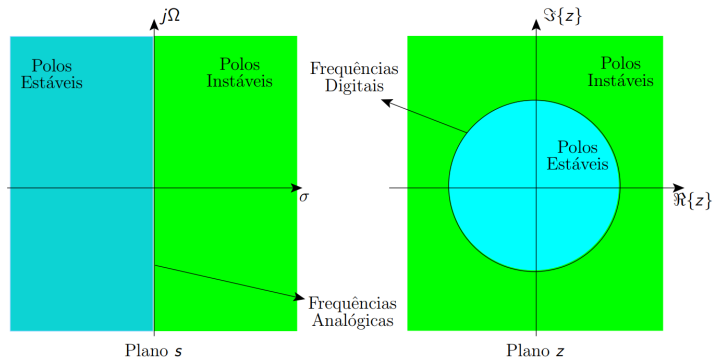
Requisitos desejados em transformações de TC para TD:

- 1 Mapeamento de frequências:
 - Eixo- $j\Omega$ (plano- s) \implies CRU (plano- z).
- 2 Preservar estabilidade:
 - $H_c(s)$ estável $\implies H(z)$ estável.

Projeto de filtros IIR de tempo discreto por mapeamento TC-TD

Objetivo: mapear polos e zeros analógicos em polos e zeros digitais de forma que

- Polos estáveis, $\Re\{s\} < 0$, virem polos estáveis, $|z| < 1$;
- Frequências analógicas, $s = j\Omega$, virem frequências digitais, $z = e^{j\omega}$;



Projeto de filtros IIR de tempo discreto por mapeamento TC-TD

Tipos de transformação:

- Invariância da resposta impulsiva:
 - Frequências são apenas escalonadas (há presença de *aliasing*);
 - Polos estáveis de $H_c(s)$ são mapeados em polos estáveis de $H(z)$;
- Transformação bilinear:
 - Eixo- $j\Omega$ do plano- s é inteiramente mapeado na CRU do plano- z (não há *aliasing*);
 - Polos estáveis de $H_c(s)$ são mapeados em polos estáveis de $H(z)$;

Invariância da resposta impulsiva

Resposta ao impulso do filtro discreto escolhida é proporcional a amostras igualmente espaçadas da resposta ao impulso do filtro de tempo contínuo:

$$h[n] = T_d h_c(nT_d).$$

Relação entre respostas em frequência:

$$H(e^{j\omega}) = \sum_{k=-\infty}^{\infty} H_c\left(j\frac{\omega}{T_d} + j\frac{2\pi}{T_d}k\right).$$

Se o filtro de tempo contínuo for limitado em banda, de modo que

$$H_c(j\Omega) = 0, \quad |\Omega| \geq \pi/T_d$$

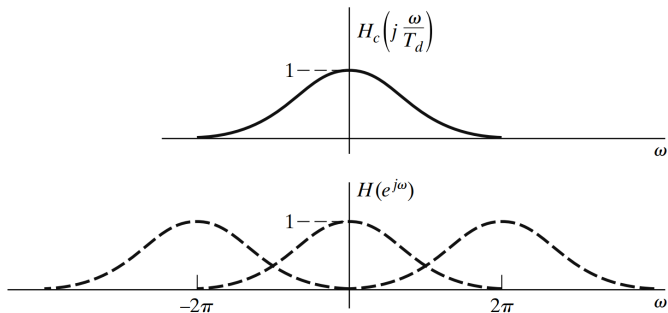
então

$$H(e^{j\omega}) = H_c\left(j\frac{\omega}{T_d}\right), \quad |\omega| \leq \pi.$$

Invariância da resposta impulsiva

Nenhum filtro em TC é limitado em frequência:

- Invariância da resposta impulsiva apresenta *aliasing*;
- Se *aliasing* for pequeno é desprezado;



Invariância da resposta impulsiva

Relação entre frequências contínua e discreta:

$$\Omega = \omega / T_d.$$

Parte-se de um filtro em tempo contínuo com função de sistema:

$$H_c(s) = \sum_{k=1}^N \frac{A_k}{s - s_k}$$

e resposta ao impulso

$$h_c(t) = \begin{cases} \sum_{k=1}^N A_k e^{s_k t}, & t \geq 0 \\ 0, & t < 0 \end{cases}$$

Invariância da resposta impulsiva

A resposta ao impulso do filtro de tempo discreto causal obtido pela amostragem de $T_d h_c(t)$ é

$$h[n] = T_d h_c(nT_d) = \sum_{k=1}^N T_d A_k (e^{s_k T_d})^n u[n].$$

A função de sistema do filtro de tempo discreto causal é, portanto, dada por

$$H(z) = \sum_{k=1}^N \frac{T_d A_k}{1 - e^{s_k T_d} z^{-1}}.$$

Invariância da resposta impulsiva

Consequências:

- Pólos em $s = s_k$ são mapeados em pólos em $z = e^{s_k T_d}$;
 - Em geral, zeros não são mapeados;
- Filtros de tempo contínuo estáveis resultam em filtro de tempo discreto estáveis:

$$\begin{cases} s_k = \sigma_k + j\Omega_k \\ z_k = e^{\sigma_k T_d} e^{j\Omega_k T_d} \end{cases}$$

- $\sigma < 0$: mapeamento $|z| < 1$ (interior do círculo de raio unitário)

Invariância da resposta impulsiva

Algoritmo

- 1 Escolher T_d e determinar as frequências de corte Ω_p da faixa de passagem e Ω_s da faixa de rejeição, ambas dada pela relação $\omega = \Omega T_d$;
- 2 Projetar um filtro analógico $H_c(s)$ usando as especificações Ω_p , Ω_s , δ_{p1} , δ_{p2} e δ_s .
 - δ_{p1} e δ_{p2} são os *ripples* da faixa de passagem e δ_s é a atenuação na faixa de rejeição;
 - Para projetar $H_c(s)$ é utilizada uma técnica de projetos de filtros analógicos: Butterworth, Chebyshev, elípticos, etc;
- 3 Usando expansão em frações parciais, obter $H_c(s) = \sum_{k=1}^N \frac{A_k}{s-s_k}$;
- 4 Obter a função de sistema do filtro digital pela relação $H(z) = \sum_{k=1}^N \frac{T_d A_k}{1 - e^{s_k T_d} z^{-1}}$

Transformação bilinear: definição

Transformação entre os planos z (discreto) e s (análogo) dada por:

$$s = \frac{2}{T_d} \left(\frac{1 - z^{-1}}{1 + z^{-1}} \right); \quad z = \frac{1 + (sT_d/2)}{1 - (sT_d/2)}.$$

Dessa forma:

$$H(z) = H_c \left[\frac{2}{T_d} \left(\frac{1 - z^{-1}}{1 + z^{-1}} \right) \right]$$

Transformação bilinear: propriedades

Fazendo $s = j\Omega$ ($\sigma = 0$):

$$\begin{aligned} z &= \frac{1 + (sT_d/2)}{1 - (sT_d/2)} \\ &= \frac{1 + (j\Omega T_d/2)}{1 - (j\Omega T_d/2)}. \end{aligned}$$

De onde concluímos que:

$$|z| = 1.$$

- O eixo- $j\Omega$ é mapeado na CRU.

Transformação bilinear: propriedades

Seja $z = e^{j\omega}$ (CRU):

$$\begin{aligned}s &= \frac{2}{T_d} \left[\frac{1 - e^{-j\omega}}{1 + e^{-j\omega}} \right] = \frac{2}{T_d} \left[\frac{e^{-j\omega/2}(e^{j\omega/2} - e^{-j\omega/2})}{e^{-j\omega/2}(e^{j\omega/2} + e^{-j\omega/2})} \right] \\ &= \frac{2}{T_d} j \operatorname{tg}(\omega/2) = \sigma + j\Omega.\end{aligned}$$

Se $\sigma = 0$:

$$\Omega = \frac{2}{T_d} \operatorname{tg}(\omega/2) \longrightarrow \omega = 2 \operatorname{arctg}(\Omega T_d/2).$$

- Todo o eixo- $j\Omega$ ($-\infty < \Omega < \infty$) é mapeado em $-\pi < \omega < \pi$. Com isto, a resposta em frequência contínua será toda concentrada em um período do eixo- $j\omega$.

Transformação bilinear: propriedades

Seja $s = \sigma + j\Omega$,

$$z = \frac{1 + \sigma T_d/2 + j\Omega T_d/2}{1 - \sigma T_d/2 + j\Omega T_d/2}.$$

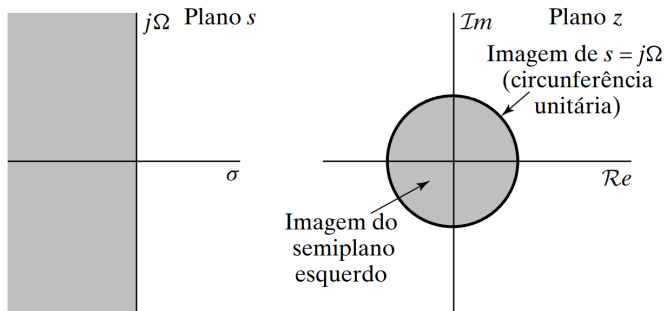
Se $\sigma < 0 \longrightarrow |z| < 1, \forall \Omega$.

Se $\sigma > 0 \longrightarrow |z| > 1, \forall \Omega$.

- O semi-plano esquerdo (SPE) do plano- s é mapeado no interior da CRU, enquanto que o SPD é mapeado no exterior da CRU. Isto implica que um filtro analógico estável gera um filtro discreto estável.

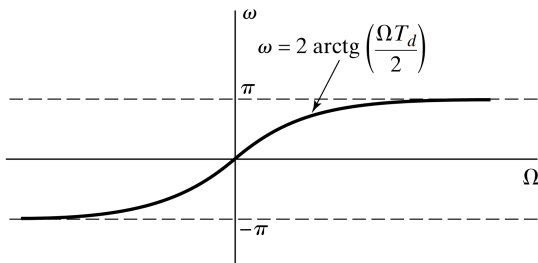
Transformação bilinear: propriedades

Mapeamento do plano s no plano z usando a transformação bilinear.



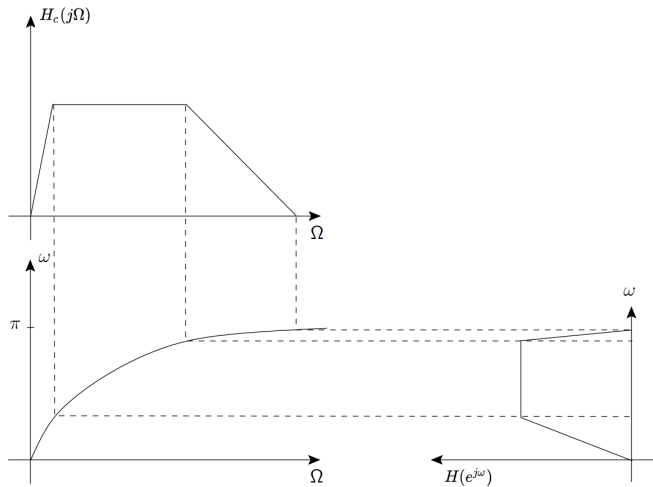
Transformação bilinear: propriedades

- A relação entre $H_c(j\Omega)$ e $H(e^{j\omega})$ é não-linear. Portanto, ocorre distorção de formato de curva.
- Para $|\Omega| \ll 1$ temos $|\omega| \approx \Omega/T_d$, ou seja, a relação entre as curvas é aproximadamente linear.



Mapeamento do eixo das frequências de tempo contínuo no eixo das frequências de tempo discreto pela transformação linear.

Transformação bilinear: propriedades



Transformação bilinear

Algoritmo:

- 1 Comece com uma máscara em frequências discretas.
- 2 Obtenha máscara analógica fazendo $\Omega = (2/T_d)\text{tg}(\omega/2)$:
 - Para filtro passa-baixas, frequências de passagem e corte:
 - $\Omega_p = (2/T_d)\text{tg}(\omega_p/2)$ e $\Omega_s = (2/T_d)\text{tg}(\omega_s/2)$;
- 3 Projete $H_c(s)$ (técnicas de projetos de filtros analógicos: Butterworth, Chebyshev, elípticos, etc);
- 4 Faça $H(z) = H_c(s) \Big|_{s=\frac{2}{T_d} \frac{1-z^{-1}}{1+z^{-1}}}$

Exemplo: FPB em tempo discreto Butterworth

Obtidos via mapeamento de filtros passa-baixas em tempo contínuo Butterworth:

$$|H_c(j\Omega)|^2 = \frac{1}{1 + \left(\frac{\Omega}{\Omega_c}\right)^{2N}} = \frac{1}{1 + \left(\frac{j\Omega}{j\Omega_c}\right)^{2N}},$$

- $H_c(s)$ é maximamente plano em $s = 0$:
 - Muitas derivadas nulas na origem;
- $|H_c(j\Omega)|$ diminui quando Ω aumenta.
- Ω_c é a frequência de corte do FPB;
- N é a ordem do filtro.

Fazendo $j\Omega = s$:

$$H_c(s)H_c(-s) = \frac{1}{1 + \left(\frac{s}{j\Omega_c}\right)^{2N}}.$$

Exemplo: FPB em tempo discreto Butterworth

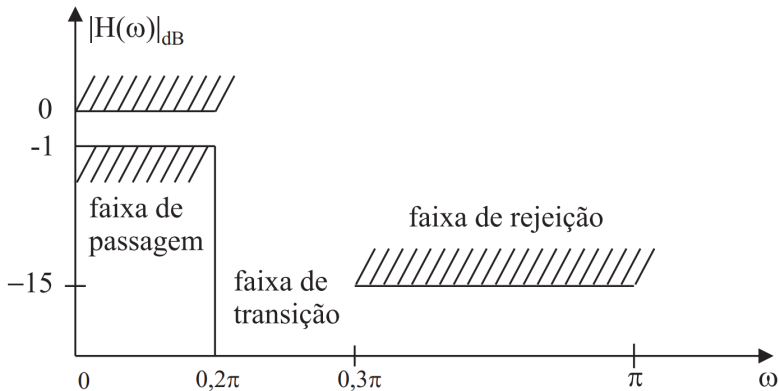
Função de sistema pode ser reescrita como

$$H_c(s) = \frac{\Omega_c^N}{\prod_{k=0}^{N-1} (s - s_k)}$$

onde os N pólos são:

$$s_k = \Omega_c e^{(j \frac{2k+1}{2N} \pi + j \frac{\pi}{2})}, \quad k = 0, 1, \dots, N-1.$$

Exemplo: FPB em tempo discreto Butterworth



Exemplo: FPB em tempo discreto Butterworth

Especificações de projeto (filtro em tempo discreto):

- Ganho na faixa de passagem entre 0 dB e -1 dB;
- Atenuação na faixa de rejeição de pelo menos -15 dB;
- $\omega_p = 0,2\pi$ rad e $\omega_s = 0,3\pi$ rad;

Exemplo: FPB em tempo discreto Butterworth

1) Projeto pela invariância da resposta impulsiva

- Deve-se converter especificações em TD para TC;
- Como ao final do projeto o filtro deverá ser mapeado novamente para TD, pode-se mostrar que parâmetro T_d desaparece (podemos usar $T_d = 1$ nos cálculos $\Omega = \omega T_d$);

Das especificações, tem-se:

$$20 \log_{10} |H(e^{j0,2\pi})| \geq -1,$$

ou $|H(e^{j0,2\pi})| \geq 10^{-0,5} = 0,89125.$

e

$$20 \log_{10} |H(e^{j0,3\pi})| \leq -15,$$

ou $|H(e^{j0,3\pi})| \leq 10^{-0,75} = 0,17783.$

Exemplo: FPB em tempo discreto Butterworth

Da definição da função de magnitude ao quadrado de um filtro Butterworth, obtém-se:

$$1 + \left(\frac{0,2\pi}{\Omega_c} \right)^{2N} = \left(\frac{1}{0,89125} \right)^2, \quad (1)$$

$$1 + \left(\frac{0,3\pi}{\Omega_c} \right)^{2N} = \left(\frac{1}{0,17783} \right)^2 \quad (2)$$

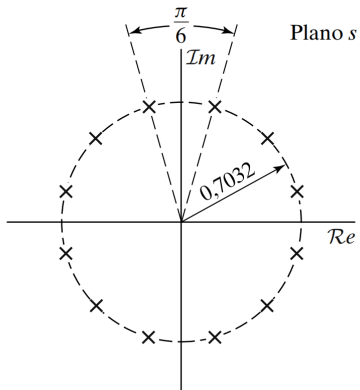
Exemplo: FPB em tempo discreto Butterworth

- A solução simultânea dessas duas equações é $N = 5,8858$ e $\Omega_c = 0,70474$;
- N deve ser inteiro, logo, escolhe-se $N = 6$, o que faz com que (1) e (2) não sejam satisfeitas simultaneamente. É possível satisfazer apenas (1) ou (2);
- Devido ao *aliasing*, escolhe-se satisfazer (1). A especificação da banda de rejeição acaba sendo excedida, pois $6 > 5,8858$;
- Fazendo $N = 6$ em (1), obtém-se $\Omega_c = 0,7032$;

Exemplo: FPB em tempo discreto Butterworth

- Obtém-se os polos do filtro em TC (usando relação para obtenção de polos de um filtro Butterworth, dada por $s_k = \Omega_c e^{(j\frac{2k+1}{2N}\pi + j\frac{\pi}{2})}$, $k = 0, 1, \dots, N-1$):
 - Par de polos 1: $-0,182 \pm j(0,679)$,
 - Par de polos 2: $-0,497 \pm j(0,497)$,
 - Par de polos 3: $-0,679 \pm j(0,182)$.
- A partir dos polos do SPE, obtém-se $H_c(s) = \frac{\Omega_c^N}{\prod_{k=0}^{N-1} (s-s_k)}$.
 - Usando expansão em frações parciais, obtém-se $H_c(s) = \sum_{k=1}^N \frac{A_k}{s-s_k}$;
- Por fim, mapeia-se TC para TD, usando a relação do método de invariância da resposta impulsiva, para se obter $H(z) = \sum_{k=1}^N \frac{T_d A_k}{1 - e^{s_k T_d} z^{-1}}$.

Exemplo: FPB em tempo discreto Butterworth



Localizações no plano- s dos polos de $H_c(s)H_c(-s)$.

Exemplo: FPB em tempo discreto Butterworth

2) Projeto pela transformação bilinear

A função de sistema do filtro discreto Butterworth, usando a transformação bilinear, é dada por:

$$\begin{aligned} H(z) &= H_c(s) \Big|_{s = \frac{2}{T_d} \frac{1-z^{-1}}{1+z^{-1}}} \\ &= \frac{\Omega_c^N}{\prod_{k=0}^{N-1} \left(\frac{2}{T_d} \frac{1-z^{-1}}{1+z^{-1}} - s_k \right)} \\ &= \frac{\Omega_c^N (1+z^{-1})^N}{\prod_{k=0}^{N-1} \left[\frac{2}{T_d} - s_k - \left(\frac{2}{T_d} + s_k \right) z^{-1} \right]} \end{aligned}$$

Exemplo: FPB em tempo discreto Butterworth

- Mapeia-se as frequências para o campo analógico, usando $\Omega = 2/T_d \operatorname{tg}(\omega/2)$ (lembrando que T_d desaparece),

Aplica-se as especificações do filtro em TD para o filtro em TC, convertendo-se as frequências:

$$\begin{aligned} 20 \log_{10} |H(e^{j2 \operatorname{tg}(0,1\pi)})| &\geq -1, \\ 20 \log_{10} |H(e^{j2 \operatorname{tg}(0,15\pi)})| &\leq -15. \end{aligned}$$

Exemplo: FPB em tempo discreto Butterworth

De onde obtém-se:

$$1 + \left(\frac{2 \operatorname{tg}(0, 1\pi)}{\Omega_c} \right)^{2N} = \left(\frac{1}{0,89125} \right)^2, \quad (3)$$

$$1 + \left(\frac{2 \operatorname{tg}(0, 15\pi)}{\Omega_c} \right)^{2N} = \left(\frac{1}{0,17783} \right)^2 \quad (4)$$

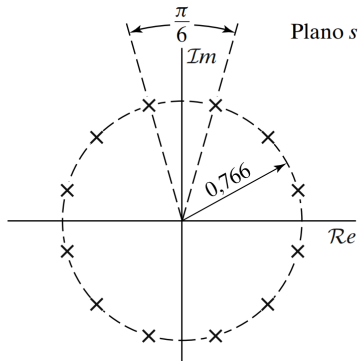
Resolve-se:

$$\begin{aligned} N &= \log \frac{\left[\left(\left(\frac{1}{0,17783} \right)^2 - 1 \right) / \left(\left(\frac{1}{0,89125} \right)^2 - 1 \right) \right]}{2 \log [\operatorname{tg}(0, 15\pi) / \operatorname{tg}(0, 1\pi)]} \\ &= 5,30466. \end{aligned}$$

Exemplo: FPB em tempo discreto Butterworth

- N deve ser inteiro. Escolhe-se $N = 6$;
- Decide-se obter Ω_c de (4) (não há *aliasing*):
 - Satisfaz banda de rejeição;
 - Excede banda de passagem;
- Fazendo $N = 6$ em (4), obtém-se $\Omega_c = 0,76622$;
- Escolhe-se os 6 pólos do SPE do plano- s ;
- A partir dos pólos, obtém-se $H_c(s) = \frac{\Omega_c^N}{\prod_{k=0}^{N-1} (s-s_k)}$.
- Por fim, mapeia-se TC para TD, usando a transformação bilinear (com $T_d = 1$), para se obter $H(z)$.

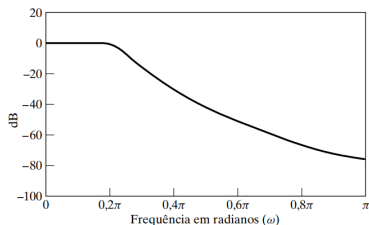
Exemplo: FPB em tempo discreto Butterworth



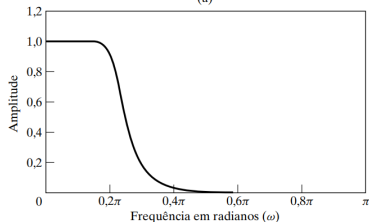
Localizações no plano-s dos polos de $H_c(s)H_c(-s)$.

Exemplo: FPB em tempo discreto Butterworth

Resposta em frequência do filtro Butterworth de ordem 6 projetado pela invariância da resposta ao impulso. (a) Magnitude logarítmica em dB; (b) Magnitude.



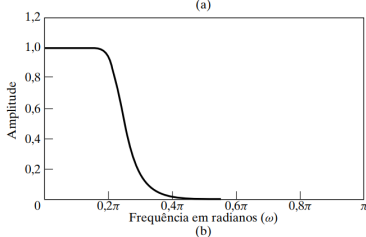
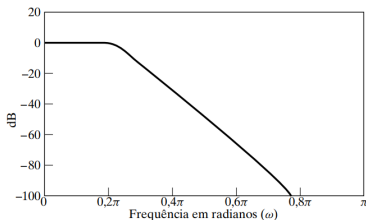
(a)



(b)

Exemplo: FPB em tempo discreto Butterworth

Resposta em frequência do filtro Butterworth de ordem 6 projetado pela transformação bilinear.
(a) Magnitude logarítmica em dB; (b) Magnitude.



Filtros IIR

Outros filtros IIR com projeto por invariância da resposta impulsiva e transformação bilinear:

- Chebyshev I;
- Chebyshev II;
- Elípticos;